

## 碎波内部流速場の算定方法

名古屋工業大学 学生員 ○加藤 俊夫・遠藤 浩二・湯浅 剛 正員 齋岡 渉

1. はじめに 碎波後の流体場の挙動を予測するためには碎波時の波の特性が境界条件として必要である。そのためには碎波時の内部流速場の正確な算定方法が必要となってくる。碎波は波形の前後非対称性と非定常性の強い現象であり、波形の前後対称性または定常性を仮定した波動理論で碎波を取り扱うには問題が残されている。また、LDVなどを用いた水粒子速度の測定にしても、計測装置自体高価であり、流体各点での測定、特に波峰付近での精度良い測定は通常困難である。そこで本研究は波形の前後非対称性を考慮した解析方法として流れ関数法<sup>1)</sup>とボテンシャル理論に基づく定常解析法とを、波形の前後非対称性と非定常性を考慮した解析方法としてボテンシャル理論に基づく擬似定常解析と数値シミュレーション<sup>2)</sup>を提案し、step型の水路で発生させた碎波を用いて実験結果と各解析による碎波内部流速および波動エネルギーの比較、検討を行った。

2. 実験装置および実験条件 実験には名古屋工業大学社会開発工学教室の長さ30m、幅0.6m、高さ1.2mの二次元造波板の水槽を用いた。造波板から20mの位置より1.6mの1/10の一様勾配斜面に長さ5mの一様床を接続させたstep型海浜模型を設置し、他端には消波装置を設けた。spilling breakerは一様床上で、plunging breakerについてはstepと一様床との境より一様床側でそれぞれ碎波させた。碎波点は、jetが飛び出す直前とし、ロータリ・シャッター式ビデオカメラで撮影し碎波時の波形を読み取った。また、峰における水平方向水粒子速度は中立粒子(比重1.02)をトレーサーとして測定した。水平床上での水深は常に0.11mとし、その他の実験条件は表-1に示す。

3. 解析方法 a) 数値シミュレーション...ボテンシャル理論の厳密解に基づくmixed Eulerian-Lagrangian法によるもので詳細は文献2)に示してある。本方法によれば、波形を一波長にわたって実験波形と合わせることは困難であるが(解析にあたっては碎波波高を実験結果とできるだけ一致させるようにした)、碎波変形に伴う波形の前後非対称性と非定常性を考慮することができる。  
b) 定常解析法...座標系を図-1に示すようにとり、流れ関数法と同様に波速Cにより流体場が定常化できることを仮定すれば、座標系(n,s)を用いて運動学的境界条件および力学的境界条件はそれぞれ式(1)、(2)で与えられる。

$$\frac{1}{C} \frac{\partial \phi}{\partial n} = n_x \quad \dots \quad (1) \quad \frac{1}{2g} \left( \frac{\partial \phi}{\partial s} - C n_z \right)^2 + \eta = Q \quad \dots \quad (2)$$

ここで、波形が一波長にわたって与えられたとすると式(1)の右辺n<sub>x</sub>は容易に求めることができ、グリーン公式に基づく境界積分方程式を用いることによりφ/Cを計算することができる。波速Cは式(2)のerrorを最小とするように流れ関数法と同様に最小自乗法により求める。本方法によれば、流れ関数法と同様に定常性を仮定しているものの、波形を厳密に実験波形と一致させることができ、解析値の精度は近似オーダーに影響を受けない。

c) 擬似定常解析法...定常化されない運動学的境界条件は式(3)で与えられるが、式中右辺の∂η/∂tを実験で計測するのは困難である。そこで式(3)を式(4)で近似できるものとした。

$$\frac{\partial \phi}{\partial n} = n_x \frac{\partial \eta}{\partial t} \quad \dots \quad (3) \quad \frac{\partial \phi}{\partial n} = n_x \sqrt{g(d+\eta)} \quad \dots \quad (4)$$

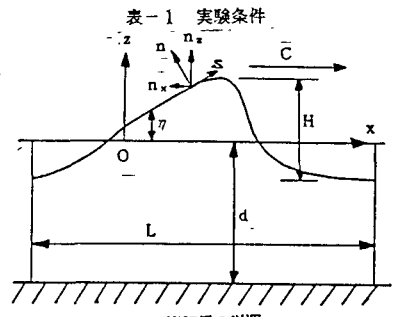
これは、有限振幅長波理論の波速を与えたものに対応しており、碎波変形に伴うx方向の変形は考慮されるものの、鉛直方向の流速(上下の変形)は無視されている。

d) 流れ関数法....本解析にあたってはDeanの流れ関数の第5次近似を用いた。

4. 実験結果および計算結果 波形の比較を図-2,3,4に、内部流速分布については図-5,6,7に、また波動エネルギー値は表-2,3,4にそれぞれ示す。ただし、stepの接続付近で碎波させた波については斜面上の谷の水位を一様床上での谷の水位に一致させるように補正した。計算に用いた波形の分割数は表-1に示してある。

Spilling Breaker...波形については数値シミュレーションと流れ関数法とともに峰付近では良く一致しているが、両理論とも実験波形と比べて谷が浅い。流速分布は数値シミュレーションが実験値と最も良く一致している。残り三つの解

case	H <sub>o</sub>	T	碎波形式	分割数 b/c)	分割数 d)
1)	6.23cm	0.8sec	Spilling	27	19
2)	9.41cm	0.8sec	Plunging	29	19
3)	9.76cm	0.8sec	Heavy Pl	28	19



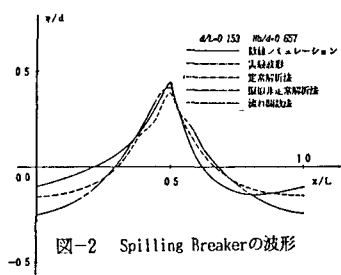


図-2 Spilling Breakerの波形

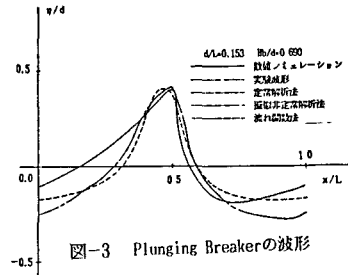


図-3 Plunging Breakerの波形

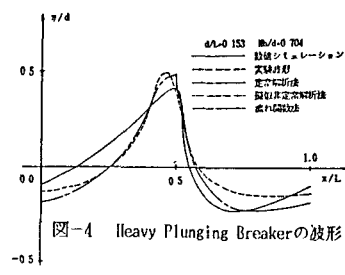


図-4 Heavy Plunging Breakerの波形

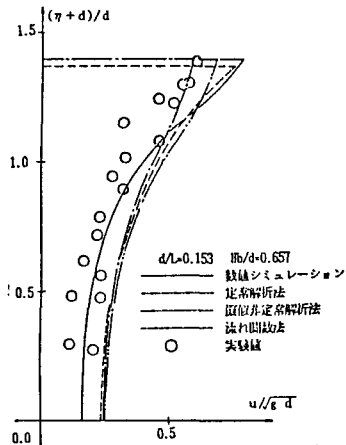


図-5 Spilling Breakerの峰における水平方向水粒子速度分布

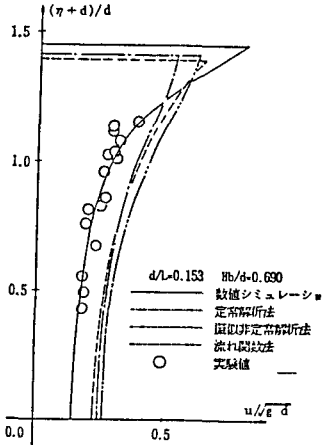


図-6 Plunging Breakerの峰における水平方向水粒子速度分布

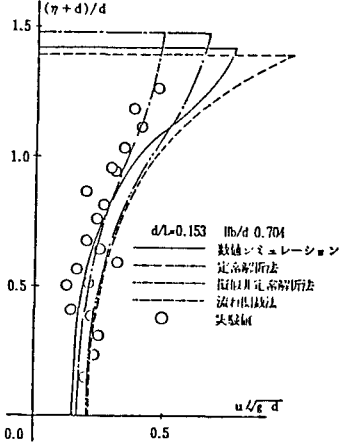


図-7 Heavy Plunging Breakerの峰における水平方向水粒子速度分布

Hb/d = 0.657 Hb(stream)/d = 0.545 Hb(numerical)/d = 0.588					
	E/pd <sup>2</sup>	Ez/pd <sup>2</sup>	Ep/pd <sup>2</sup>	Umax/d	C/d
a) Numerical	2.480	1.191	1.285	0.782	—
b) stream func.	2.839	1.125	1.434	0.636	0.961
c) steady	4.309	2.218	2.091	0.522	0.951
d) unsteady	4.688	2.766	2.091	0.614	—

Hb/d = 0.650 Hb(stream)/d = 0.511 Hb(numerical)/d = 0.589					
	E/pd <sup>2</sup>	Ez/pd <sup>2</sup>	Ep/pd <sup>2</sup>	Ummax/d	C/d
a)	3.358	1.798	1.560	0.749	—
b)	3.289	1.594	1.703	0.759	0.951
c)	5.220	2.673	2.547	0.588	0.961
d)	5.583	3.044	2.547	0.682	—

Hb/d = 0.704 Hb(stream)/d = 0.636 Hb(numerical)/d = 0.643					
	E/pd <sup>2</sup>	Ez/pd <sup>2</sup>	Ep/pd <sup>2</sup>	Ummax/d	C/d
a)	4.248	2.227	2.022	0.762	—
b)	3.365	1.594	1.771	1.003	1.058
c)	4.630	2.269	2.361	0.492	0.812
d)	6.013	3.652	2.361	0.672	—

表-2 Spilling Breakerの計算結果 表-3 Plunging Breakerの計算結果 表-4 Heavy Plunging Breaker の計算結果

解析方法は実験値と比べて波頭付近を除けばやや過大な値を与えており、エネルギーに関しては、定常解法と擬似非定常解法が数値シミュレーションと流れ関数法に対して大きい値となっている。

Plunging Breaker...数値シミュレーションの波形は実験波形に比べてやや巻き気味であり、数値シミュレーションと流れ関数法とともに谷が浅い。流速分布は全体的に数値シミュレーションが良く一致しているが、残り三つの解法は過大値を与えており、波頭付近については実測できなかったので比較できない。エネルギー特性に関してはSpilling Breakerと同様である。

Heavy Plunging Breaker...波形、エネルギー特性とともにPlunging Breakerの場合と同様である。流速分布は波頭付近で流れ関数法が他の理論値と比べて大きい値をとっている。数値シミュレーションの流速分布曲線の勾配が波頭付近で緩やかになるのはHeavy Plungingのjetの形成機構と関連して興味深いが、実験値と比較することはできなかった。

5.まとめ 実験波形についてはstep型模型を用いて強制的に碎波させたためか、波峰は数値シミュレーションに比べて全体的にやせている。水平方向水粒子速度については数値シミュレーションの結果は実験値と最も良く一致した。定常解法、擬似非定常解法および流れ関数法については、Heavy Plunging Breakerのケースを除けば三者の結果の差異は小さく、実験値に比べるとやや過大な流速値を示した。エネルギー値については一波長にわたっての各点での流速値を測定していないため実験値と比較することはできない。しかし、数値シミュレーションの結果と流れ関数法の結果は比較的良好一致しているが、数値シミュレーションに比べて流れ関数法の結果はSpilling Breakerでやや大きなPlunging Breakerでやや小さい値を示した。

参考文献 1) Dean, R.G.; J.G.R., Vol.70, pp.4561~4572, 1965.

2) Kioka W.; Coastal Engineering in Japan, Vol.26, 1983.